

## · 临床研究与实践 ·

# 儿童异位睾丸 13 例诊疗体会



全文二维码

张黄成昊<sup>1,2</sup> 严兵<sup>1</sup> 唐浩宇<sup>1</sup> 张昆<sup>1</sup> 武成闯<sup>1</sup> 天志刚<sup>1</sup> 杭宇<sup>1</sup>

<sup>1</sup> 昆明市儿童医院泌尿外科 云南省儿童重大疾病研究重点实验室,昆明 650103; <sup>2</sup> 云南省儿童健康与疾病临床医学研究中心,昆明 650103

通信作者:严兵, Email:yanbing@etyy.cn

**【摘要】 目的** 探讨异位睾丸患儿的诊断和治疗,提高临床医生对该疾病的认识。 **方法** 回顾性分析 2014 年 9 月至 2019 年 7 月昆明市儿童医院泌尿外科收治的 13 例异位睾丸患儿临床资料,从病变类型、病因、临床诊断与治疗方法及预后等方面总结诊治经验。 **结果** 13 例异位睾丸患儿年龄 6~84 个月,中位年龄 19 个月;染色体检查结果均为男性。睾丸横过异位 4 例,其中 2 例为腹膜后横过异位,1 例为经腹腔对侧腹股沟横过异位,1 例为经对侧腹股沟下降至对侧阴囊。睾丸同侧异位 9 例,左侧 5 例,右侧 4 例,异位于腹股沟皮下浅筋膜囊内 5 例、会阴部皮下组织 2 例、大腿内侧根部 2 例。对同侧非横过异位睾丸行开放性异位睾丸探查术;对横过异位睾丸行腹腔镜探查术,术中证实苗勒氏管残留 1 例。13 例患儿术中均探及异位睾丸,并无张力固定于阴囊内。术后随访 6 个月至 2 年,术后 6 个月、12 个月患侧睾丸体积分别为  $(239.5 \pm 73.2) \text{ mm}^3$ 、 $(239.0 \pm 79.5) \text{ mm}^3$ ,均较术前的  $(145.8 \pm 51.7) \text{ mm}^3$  明显增大 ( $P < 0.05$ );而术后 6 个月与术后 12 个月相比,B 超显示患侧睾丸体积无明显变化 ( $t = 0.331$ ,  $P = 0.749$ )。13 例中除 1 例外因外伤后致睾丸萎缩外,其余无一例出现睾丸萎缩。 **结论** 异位睾丸的诊治个体差异大,手术是异位睾丸的标准治疗方法。横过异位睾丸可在腹腔镜下明确诊断,需根据具体情况选择合适的手术方式。术后 6 个月是评估异位睾丸手术治疗效果的重要时间点。

**【关键词】** 睾丸疾病; 会阴; 阴茎; 抗苗勒管激素; 外科手术

**基金项目:** 云南省教育厅科学基金(2020J0228); 云南省科技厅昆医联合专项 - 面上项目(202001AY070001-271); 昆明市卫生科技人才“十百千”培养项目(2020-SW(后备)-112); 昆明市西山区科技计划项目(2020-西科字 23 号); 云南省儿童健康与疾病临床医学研究中心开放研究基金(2022-ETYY-YJ-03)

DOI:10.3760/cma.j.cn101785-202009028-017

## Clinical diagnosis and treatment of 13 children with ectopic testis

Zhang Huangchenghao<sup>1,2</sup>, Yan Bing<sup>1</sup>, Tang Haoyu<sup>1</sup>, Zhang Kun<sup>1</sup>, Wu Chengchuang<sup>1</sup>, Yao Zhigang<sup>1</sup>, Hang Yu<sup>1</sup>

<sup>1</sup> Kunming Children's Hospital, Key Research Laboratory of Major Diseases of Children in Yunnan Province, Kunming 650103, China; <sup>2</sup> Yunnan Provincial Clinical Research Center for Children's Health & Disease, Kunming 650103, China

Corresponding author: Yan Bing, Email:yanbing@etyy.cn

**[Abstract]** **Objective** To summarize the clinical experiences of diagnosing and treating ectopic testis (ET) and enhance its clinician awareness. **Methods** From September 2014 to July 2019, clinical data were retrospectively reviewed for 13 ET children. Management experiences were summarized from the aspects of type, etiology, clinical diagnosis, treatment and prognosis. **Results** The median age was 19(6~84) months. Transverse ET was located in perineal area ( $n=2$ ), scrotal septum ( $n=1$ ) and subcutaneous inguinal canal ( $n=1$ ). The involved side was left ( $n=5$ ) and right ( $n=4$ ). The lesion was located in subcutaneous superficial fascia capsule ( $n=5$ ), perineum subcutaneous tissue ( $n=2$ ) and thigh root ( $n=2$ ). Open testicular exploration was performed for non-transverse ET and laparoscopic exploration for transverse ET. During a postoperative follow-up period of 6 months to 2 years. Testicular volume of affected side at 6 months post-operation was  $(239.5 \pm 73.2) \text{ mm}^3$ . The postoperative testicular volume at affected side at month 12 was significantly larger than that pre-operation [ $(239.0 \pm 79.5) \text{ vs. } (145.8 \pm 51.7) \text{ mm}^3$ ,  $P < 0.05$ ]. However, ultrasonic results at

Month 6/12 post-operation showed no significant change in testicular volume at affected side ( $t = 0.331, P = 0.749$ ). Except for 1 case of testicular atrophy after trauma, none had testicular atrophy. **Conclusion** The specific management protocols of ET vary greatly among individuals and surgery remains a standard treatment. Transectopic testis may be definitively diagnosed laparoscopically and appropriate surgical approach is based upon specific situations. Month 6 post-operation is an important timepoint for evaluating surgical efficacy of ET.

**[Key words]** Testicular Diseases; Perineum; Penis; Anti-Mullerian Hormone; Surgical Procedures, Operative

**Fund program:** Yunnan Provincial Education Department of Science Research Fund (2020-J0228); Kunming Municipal Health Science & Technology Talent 1000 Training Project [2020-SW(RESERVE)-112]; Kunming Municipal Medical Joint Project of Yunnan Science & Technology Department (202001AY070001-271); Kunming Municipal Xishan District Science & Technology Plan Project (2020-Xikezi-23); Open Research Fund of Yunnan Children's Health and Disease Clinical Medical Research Center(2022-ETYY-YJ-03)

DOI:10.3760/cma.j.cn101785-202009028-017

异位睾丸(ectopic testis, ET)是指睾丸在下降过程中,停留在下降路线以外的其他部位,如会阴、腹外斜肌腱膜外侧、阴茎根部甚至对侧腹股沟等位置。ET 也被称为特殊类型的睾丸下降不全,临床较为少见,近年来国内外文献仍以个案报道为主<sup>[1-3]</sup>。其病因与隐睾相似,主要包括引带附着点异常及苗勒氏管残留等。手术是异位睾丸的唯一治疗方法<sup>[4]</sup>。本研究回顾性分析 2014 年 9 月至 2019 年 7 月昆明市儿童医院泌尿外科收治的 13 例异位睾丸患儿临床资料,总结其诊治经验。

## 资料与方法

### 一、临床资料

收集 2014 年 9 月至 2019 年 7 月昆明市儿童医院泌尿外科收治的异位睾丸病例。排除标准:①因腹腔内肠粘连严重、心肺功能障碍无法耐受手术者;②既往有隐睾手术史者;③患儿家属不同意参与本研究者;④失访者。最终本研究共纳入 13 例异位睾丸患儿,年龄 6~84 个月(中位年龄 19 个月),体格检查可触及睾丸组织 10 例,其中睾丸异位至对侧阴囊 1 例,9 例为睾丸同侧非横过异位。同侧非横过异位中左侧 5 例,右侧 4 例;异位于腹股沟皮下浅筋膜囊内 5 例,会阴部皮下组织 2 例,大腿内侧根部 2 例。13 例患儿染色体结果均为 46,XY。该研究已通过昆明市儿童医院伦理委员会审批(2020-03-109-K01),并与家属签署知情同意书。

### 二、手术方法

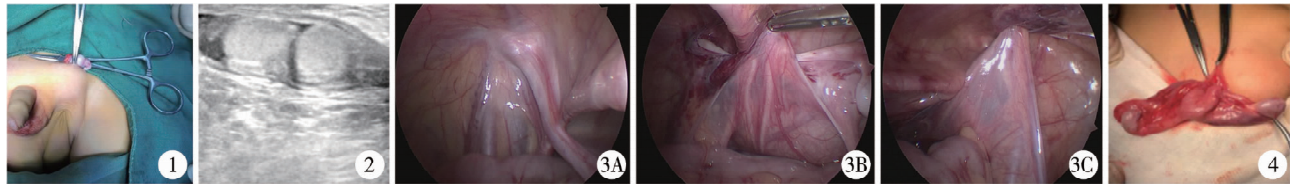
13 例完善术前准备后于全身麻醉下行手术探查。对腹腔外同侧非横过异位睾丸采取开放性异位睾丸探查术,取耻骨结节外上方、下腹横纹切口,从内环口处找到精索血管,并向下游离,找到

睾丸后明确睾丸异位原因及部位(图 1),切断异位牵引的引带,探查腹股沟管,予卵圆钳沿内环口下方间隙钝性分离;若未见明确腹股沟管样结构,则更换蚊式钳分离。成功建立通道后,取阴囊底部横切口,用蚊式钳夹睾丸鞘膜,将异位睾丸牵引至阴囊内,用 4-0 可吸收线在 2 点、6 点、10 点方向固定睾丸于阴囊肉膜,用 5-0 快薇乔缝线缝合切口。

4 例睾丸横过异位患儿中,1 例睾丸自腹腔异位至对侧腹股沟管下段(图 2),2 例自腹膜后异位至对侧内环口,1 例自对侧腹股沟管下降至对侧阴囊内,均行腹腔镜探查术。患儿取水平仰卧位,于脐正中切口置入 5.5 mm Trocar,放入 30°腹腔镜,维持气腹压力 10~12 mmHg(1 mmHg=0.133 kPa),于脐水平、脐与左右腋前线连线中点处分别置入 3.5 mm Trocar,放入电钩和分离钳;寻找患侧精索血管(图 3A)并游离,提出异位睾丸组织,判断其异位位置及路径,评估睾丸组织血供情况,明确双侧输精管走行(图 3B),充分游离精索血管及输精管,经内环口使用蚊式钳建立通道(图 3C),用蚊式钳固定外翻睾丸鞘膜,将异位睾丸牵引至对应阴囊内,用 4-0 可吸收线在 2 点、6 点、10 点方向固定睾丸于阴囊肉膜。对于睾丸难以下降至阴囊者,采取联合下腹部小切口将异位睾丸提出体外,进一步充分游离,并确定精索及输精管长度(图 4);若出现共鞘精索、输精管开口于同侧等情况,导致异位睾丸精索、输精管长度不足,无法经正常解剖结构复位者,可经阴囊中隔无张力复位。止血,排空气腹后退镜,用 5-0 快薇乔缝线缝合切口。

### 三、统计学处理

采用 SPSS 22.0 进行统计学分析。使用 Shapiro-Wilk 检验计量资料是否符合正态分布。



注 3A:腹腔镜下显示双侧精索及输精管位置图;3B:腹腔镜下双侧输精管走行图;3C:腹腔镜下经右侧腹股沟管正常解剖结构下降固定右侧异位睾丸

图1 左侧异位睾丸下降固定术中,牵拉异位睾丸明确引带异常附着于会阴部

图3 腹腔镜下右侧横过异位睾丸下降固定术中所见

**Fig. 1** Abnormal attachment of left ectopic testicle to perineum by pulling ectopic testicle during descending fixation **Fig. 2** Preoperative ultrasound image of a child with a transverse ectopic testis to contralateral groin **Fig. 3** Laparoscopic right transverse ectopic testis seen during descending fixation

**Fig. 4** Laparoscopic descending fixation of left ectopic testis in combination with a small inguinal incision to free the bilateral testes

对于睾丸体积等符合正态分布的计量资料以  $\bar{x} \pm s$  表示,组间比较采用非参数 Kruskal-Wallis 检验观察渐进显著性,采用配对 *t* 检验比较组间差异。 $P < 0.05$  为差异有统计学意义。

## 结 果

9例同侧非横过异位睾丸经术前查体和B超明确诊断,行开放性异位睾丸探查、下降固定术,术中发现合并腹股沟斜疝2例,予游离鞘状突后高位结扎;5例未探及明确腹股沟管结构,证实为腹股沟皮

下浅筋膜囊内异位。患儿一般情况、术前及术后睾丸体积改变见表1。

4例横过异位睾丸中,经术前查体明确诊断1例,经B超明确诊断3例。术中证实苗勒氏管残留1例。1例因精索长度不足,经阴囊中隔固定;3例按正常解剖结构复位。见表2。

所有患儿手术顺利,术后随访6个月至2年;术后6个月复查B超提示睾丸位置、血供正常;睾丸体积按照相应公式[睾丸体积 = 睾丸三径( $\text{mm}^3$ )  $\times 0.521$ ]进行计算<sup>[5-6]</sup>。术后6个月患侧睾丸体积为 $(239.5 \pm 73.2) \text{ mm}^3$ 、术后12个月患侧睾丸体积为

表1 9例睾丸非横过异位患儿超声资料

**Table 1** Ultrasonic data of 9 children with non-transverse testicular ectopia

病例	术前睾丸三径 ( $\text{mm} \times \text{mm} \times \text{mm}$ )		术后6个月睾丸三径 ( $\text{mm} \times \text{mm} \times \text{mm}$ )		术后12个月睾丸三径 ( $\text{mm} \times \text{mm} \times \text{mm}$ )	
	左侧	右侧	左侧	右侧	左侧	右侧
病例1	10×5×4	11×7×6	11×6×5	13×8×6	10×5×5	11×8×7
病例2	14×6×6	12×5×5	14×7×6	14×7×6	15×7×6	14×7×6
病例3	12×6×5	10×5×5	13×6×5	12×6×5	12×6×6	12×6×6
病例4	12×6×5	10×5×4	13×5×5	12×6×5	13×5×5	12×5×5
病例5	11×5×5	11×6×5	14×8×6	14×7×6	14×7×6	14×7×6
病例6	9×4×4	15×7×5	10×5×4	15×8×5	12×6×5	15×7×5
病例7	10×4×4	13×6×5	13×6×6	14×8×5	14×7×6	15×7×6
病例8	11×5×5	11×5×4	14×8×5	14×7×5	-	-
病例9	14×7×5	12×5×5	13×7×6	11×7×6	-	-

注 - 表示病例8、病例9暂无术后12个月随访资料

表2 4例睾丸横过异位患儿超声资料

**Table 2** Ultrasonic data of 4 cases of transverse testicular heterotopia

病例	术前睾丸三径 ( $\text{mm} \times \text{mm} \times \text{mm}$ )		术后6个月睾丸三径 ( $\text{mm} \times \text{mm} \times \text{mm}$ )		术后12个月睾丸三径 ( $\text{mm} \times \text{mm} \times \text{mm}$ )	
	左侧	右侧	左侧	右侧	左侧	右侧
病例1	13×6×6	14×7×6	14×8×6	13×7×6	14×8×6	14×7×7
病例2	11×6×5	12×7×5	13×6×5	15×6×5	14×5×5	15×6×5
病例3	11×8×5	10×6×6	12×7×6	11×6×6	5×5×4	15×8×5
病例4	12×7×7	12×6×6	12×7×7	12×7×7	-	-

注 病例3术后8个月左侧阴囊外伤后萎缩,右侧代偿性增大,数据统计时将此例术后12个月复查结果剔除;-表示病例4暂无术后12个月B超资料

( $239.0 \pm 79.5$ ) mm<sup>3</sup>, 均较术前的( $145.8 \pm 51.7$ ) mm<sup>3</sup>明显增大( $P < 0.05$ );而 12 个月 B 超较术后 6 个月, 患侧睾丸体积无明显变化( $t = 0.331, P = 0.749$ )。除 1 例术后 8 个月外伤后睾丸萎缩外, 其余患儿均未出现睾丸萎缩。

## 讨 论

隐睾症是小儿泌尿外科常见疾病之一。按照睾丸位置分为腹腔内隐睾、腹股沟管隐睾及异位睾丸<sup>[7]</sup>。异位睾丸指的是睾丸位于正常下降途径(腹膜后经腹股沟管至同侧阴囊)以外的情况, 临床少见<sup>[8-10]</sup>。异位睾丸根据异位的位置特点, 主要分为睾丸横过异位(transverse testicular ectopia, TTE)和同侧非横过异位。目前研究认为激素与机械作用共同导致了睾丸异位的发生, 罗建斌等<sup>[11]</sup>结合 7 例患儿的诊疗体会, 认为引带附着点异常及苗勒氏管残留是导致睾丸异位的主要原因; Loeff 等<sup>[12]</sup>和 Gauderer 等<sup>[13]</sup>通过分析胚胎期睾丸的发育过程, 推测当支持细胞分泌抗副中肾管激素不足时, 睾丸可与副中肾管结构粘连, 导致下降异常; 王冰洁等<sup>[14]</sup>通过分析 73 例睾丸引带的肌肉组分发现, 引带内无横纹肌结构与睾丸异位的发生相关。异位睾丸临床表现各异, 同侧非横过异位睾丸多可于会阴部、大腿根部、腹股沟浅筋膜等浅表部位探及; 该疾病根据细致的查体及术前 B 超检查, 诊断并不困难。值得注意的是, 异位于腹股沟浅筋膜 Denis Browne 袋中的睾丸在术前很难与腹股沟管型隐睾鉴别; 因隐睾绝大多数可滑动于腹股沟管内, 活动度可, 故部分病例可根据术前查体活动度小与隐睾相鉴别, 确诊需根据术中所见。横过异位的睾丸因位于腹腔内, 仅少数患儿术前可获得明确诊断<sup>[15]</sup>。本组 4 例 TTE 患儿中仅 1 例术前通过查体触及睾丸组织, 与文献报道相近<sup>[15]</sup>。本组 1 例经腹腔异位于对侧腹股沟的患儿, 因合并腹股沟斜疝, 对术前查体造成干扰, 睾丸“躲藏”于疝内容物中, 术前误诊为双侧腹股沟斜疝。临床工作中, 对于一侧阴囊及腹股沟未探及睾丸样组织的男性患儿, 应考虑 TTE 可能, 建议行腹腔镜探查以明确诊断。

异位睾丸和睾丸下降不全有着类似的治疗原则, 手术为标准的治疗方法<sup>[7,16]</sup>。术中应当尽可能明确睾丸的位置和血供, 还原解剖复位并固定于阴囊。其最佳手术年龄与隐睾相似, 以 18 个月以内手术治疗为宜<sup>[17]</sup>。对于同侧非横过异位的睾丸, 无论

术前在何部位探及, 因其精索均已露出外环口, 精索及输精管长度已足够, 因而无张力固定于阴囊并不困难。术中应注意保护精索及输精管, 可向上牵拉睾丸以明确异位引带位置及方向, 进而明确异位睾丸的具体位置。

对于睾丸横过异位的患儿, 术中需要针对具体情况决定合适的手术方式, 手术的关键是腹腔镜下明确双侧精索及输精管的存在和走行, 找到睾丸; 文献报道睾丸横过异位患儿精索输精管长度足够, 与本研究的经验不同<sup>[3]</sup>。本研究中 1 例共鞘精索长度不足患儿的睾丸无法经腹股沟内环口下降至阴囊, 予以经阴囊中隔固定于对侧; 另外, 本研究中 4 例 TTE 患儿均存在不同程度输精管迂曲, 以远端近睾丸处明显。术中应注意以下几点: 第一, 细致游离迂曲输精管为手术关键, 迂曲输精管与引带伴行、走行过程中左右互换等情况多见, 术中找到输精管开口后应向远端完整游离, 注意避免横断引带时造成误伤。第二, 生殖股神经常伴行于精索, 呈白色细丝状, 术中切开精索被膜时极易损伤<sup>[5]</sup>。故术中应钝性分离, 避免过度钳夹。第三, 精索及输精管充分游离后长度不足, 依然无法达到解剖复位的患儿, 不应勉强, 此时应将异位睾丸无张力固定于阴囊作为手术的主要目标。TTE 患儿合并苗勒氏管永存概率较大<sup>[18-19]</sup>。Bowen 等<sup>[20]</sup>认为无症状的苗勒氏管永存不做处理; 本研究中 1 例 TTE 患儿术中明确苗勒氏管残留, 观察苗勒氏管结构无感染, 对睾丸下降无牵拉等影响, 为保证输精管完整性, 予以保留。彩色多普勒超声为术后复查的首选, 术后 6 个月复查 B 超, 睾丸体积较术前增长明显; 而术后 6 个月与术后 12 个月睾丸体积差异无统计学意义。因此, 术后 6 个月 B 超复查结果可能可以作为评估手术效果的初步依据。

综上所述, 异位睾丸临床少见, 需注意区分同侧异位及横过异位两大类别。同侧异位睾丸诊治上与隐睾类似, 术前可以通过细致查体及 B 超检查明确诊断, 处理起来并不困难。而横过异位睾丸具有明显个体化差异, 腹腔镜探查为诊断和治疗的首选, 通过术中所见仔细判断横过异位睾丸的具体位置、血供、及与精索及输精管的关系、有无苗勒氏管残留等, 再选择合适的手术方式。B 超为术后复查首选方式, 术后 6 个月为评估手术效果的重要时间点。

**利益冲突** 所有作者声明不存在利益冲突

**作者贡献声明** 张黄成昊负责研究的设计、实施和起草文章; 张昆、

武成岡、夭志刚、杭宇进行病例数据收集及分析；严兵、唐浩宇负责研究设计与酝酿，并对文章知识性内容进行审阅

## 参 考 文 献

- [1] 赵善超, 郑少斌, 谭万龙, 等. 睾丸横过异位的诊断和治疗(附一例报告并文献复习)[J]. 南方医科大学学报, 2009, 29(7): 1489-1490. DOI: 10. 3321/j. issn: 1673-4254. 2009. 07. 070.
- Zhao SC, Zheng SB, Tan WL, et al. Diagnosis and treatment of transverse testicular ectopia: a case report and literature review [J]. J South Med Univ, 2009, 29 (7) : 1489 - 1490. DOI: 10. 3321/j. issn: 1673-4254. 2009. 07. 070.
- [2] 张黄成昊, 严兵, 张昆, 等. 睾丸横过异位 1 例[J]. 临床泌尿外科杂志, 2019, 34(6): 497, 500. DOI: 10. 13201/j. issn. 1001-1420. 2019. 06. 021.
- Zhang HCH, Yan B, Zhang K, et al. One case of testicular heterotopia [J]. J Clin Urol, 2019, 34 (6) : 497, 500. DOI: 10. 13201/j. issn. 1001-1420. 2019. 06. 021.
- [3] 胡强, 徐汇义, 仇学文, 等. 异位睾丸七例报告[J]. 中华泌尿外科杂志, 2002, 23(2): 106-107. DOI: 10. 3760/j. issn: 1000-6702. 2002. 02. 013.
- Hu Q, Xu HY, Qiu XW, et al. Ectopic testes: a report of 7 cases [J]. Chin J Urol, 2002, 23 (2) : 106-107. DOI: 10. 3760/j. issn: 1000-6702. 2002. 02. 013.
- [4] Robinson HB. A clinical lecture on misplaced testes and their surgical treatment[J]. Br Med J, 1899, 1 (2006) : 1385-1386. DOI: 10. 1136/bmj. 1. 2006. 1385.
- [5] 中华医学会小儿外科学分会泌尿学组. 青少年精索静脉曲张诊治中国小儿泌尿外科专家共识[J]. 中华小儿外科杂志, 2020, 41 (9) : 777-783. DOI: 10. 3760/cma. j. cn421158-20191017-00598.
- Group of Urological Surgery, Branch of Pediatric Surgery, Chinese Medical Association. Chinese Pediatric Urological Surgical Expert Consensus on Managing Adolescent Varicocele [J]. Chin J Pediatr Surg, 2020, 41 (9) : 777-783. DOI: 10. 3760/cma. j. cn421158-20191017-00598.
- [6] Christman MS, Zderic SA, Kolon TF. Comparison of testicular volume differential calculations in adolescents with varicoceles [J]. J Pediatr Urol, 2014, 10 (2) : 396-398. DOI: 10. 1016/j.jpurol. 2013. 12. 007.
- [7] Barthold JS. Abnormalities of the testis and scrotum and their surgical management[M]//Wein AJ, Kavoussi LR, Novick AC, et al. Campbell-Walsh Urology. Philadelphia: Saunders, 2012: 3557-3596. e13.
- [8] 王宁, 萨音白刚, 刘宏, 等. 异位睾丸 19 例诊治分析[J]. 临床小儿外科杂志, 2017, 16 (2) : 178-181. DOI: 10. 3969/j. issn. 1671-6353. 2017. 02. 017.
- Wang N, Sayin BG, Liu H, et al. Clinical diagnosis and treatment of ectopic testicle [J]. J Clin Ped Sur, 2017, 16 (2) : 178-181. DOI: 10. 3969/j. issn. 1671-6353. 2017. 02. 017.
- [9] Hutcheson JC, Snyder HM 3rd, Zu? iga ZV, et al. Ectopic and undescended testes: 2 variants of a single congenital anomaly? [J]. J Urol, 2000, 163 (3) : 961-963. DOI: 10. 1016/S0022-5347(05)67864-0.
- [10] 曾洪飚, 王祖耀. 睾丸横过异位 1 例[J]. 临床小儿外科杂志, 2004, 3 (3) : 171. DOI: 10. 3969/j. issn. 1671-6353. 2004. 03. 030.
- Zeng HB, Wang ZY. One case of ectopic across testis [J]. J Clin Ped Sur, 2004, 3 (3) : 171. DOI: 10. 3969/j. issn. 1671-6353. 2004. 03. 030.
- [11] 罗建斌, 王德娟, 方友强, 等. 睾丸横过异位的诊断和治疗: 附 1 例报告并文献复习[J]. 中华腔镜泌尿外科杂志(电子版), 2011, 5 (3) : 231-235. DOI: 10. 3877/cma. j. issn. 1674-3253. 2011. 03. 016.
- Luo JB, Wang DJ, Fang YQ, et al. Transverse testicular ectopia: one case report with a literature review [J]. Chin J Endourol (Electronic Ed), 2011, 5 (3) : 231-235. DOI: 10. 3877/cma. j. issn. 1674-3253. 2011. 03. 016.
- [12] Loeff DS, Rosenthal IM, Weigensberg MJ, et al. Current surgical approach to patients with persistent mullerian duct structures[J]. J Pediatr Surg, 1991, 26 (4) : 504. DOI: 10. 1016/0022-3468(91)91018-T.
- [13] Gauderer MWL, Grisoni ER, Stellato TA, et al. Transverse testicular ectopia [J]. J Pediatr Surg, 1982, 17 (1) : 43-47. DOI: 10. 1016/S0022-3468(82)80323-0.
- [14] 王冰洁, 周君梅, 李玲玲, 等. 人类高低位隐睾睾丸引带内肌肉组分的探究[J]. 临床小儿外科杂志, 2019, 18 (6) : 523-526, 528. DOI: 10. 3969/j. issn. 1671-6353. 2019. 06. 017.
- Wang BJ, Zhou JM, Li LL, et al. Muscle components of gubernaculum testis from high/low cryptorchidic children [J]. J Clin Ped Sur, 2019, 18 (6) : 523-526, 528. DOI: 10. 3969/j. issn. 1671-6353. 2019. 06. 017.
- [15] Malik MA, Iqbal Z, Chaudri KM, et al. Crossed testicular ectopia [J]. Urology, 2018, 71 (5) : 984. E5-E6. DOI: 10. 1016/j. urology. 2007. 11. 088.
- [16] 杨庆堂, 姚干, 梁健升, 等. 两种手术方式治疗儿童隐睾的比较研究[J]. 临床小儿外科杂志, 2018, 17 (11) : 862-865. DOI: 10. 3969/j. issn. 1671-6353. 2018. 11. 014.
- Yang QT, Yao G, Liang JS, et al. Clinical efficacies of different surgical approaches for cryptorchidism in children [J]. J Clin Ped Sur, 2018, 17 (11) : 862-865. DOI: 10. 3969/j. issn. 1671-6353. 2018. 11. 014.
- [17] 李索林, 张灝平, 李龙, 等. 隐睾症腹腔镜手术操作指南(2017 版)[J]. 临床小儿外科杂志, 2017, 16 (6) : 523-532. DOI: 10. 3969/j. issn. 1671-6353. 2017. 06. 002.
- Li SL, Zhang WP, Li L, et al. Guideline for laparoscopy for cryptorchidism (2017 Edition) [J]. J Clin Ped Sur, 2017, 16 (6) : 523-532. DOI: 10. 3969/j. issn. 1671-6353. 2017. 06. 002.
- [18] Alamsahebpour A, Blachman-Braun R, Gupta A, et al. Laparoscopy and transseptal orchiopexy in the management of transverse testicular ectopia [J]. Curr Urol Rep, 2015, 16 (7) : 48. DOI: 10. 1007/s11934-015-0515-9.
- [19] Kamble RS, Gupta RK, Gupta AR, et al. Laparoscopic management of transverse testicular ectopia with persistent Mullerian duct syndrome [J]. J Minim Access Surg, 2015, 11 (3) : 213-215. DOI: 10. 4103/0972-9941. 152093.
- [20] Bowen DK, Matulewicz RS, Gong EM. Preservation of Müllerian structures with laparoscopic management of intra-abdominal testes in persistent Müllerian duct syndrome [J]. J Pediatr Urol, 2016, 12 (1) : 65-66. DOI: 10. 1016/j. jpurol. 2015. 08. 024.

(收稿日期: 2020-09-15)

**本文引用格式:** 张黄成昊, 严兵, 唐浩宇, 等. 儿童异位睾丸 13 例诊疗体会[J]. 临床小儿外科杂志, 2022, 21 (11) : 1090-1094. DOI: 10. 3760/cma. j. cn101785-202009028-017.

**Citing this article as:** Zhang HCH, Yan B, Tang HY, et al. Clinical diagnosis and treatment of 13 children with ectopic testis [J]. J Clin Ped Sur, 2022, 21 (11) : 1090-1094. DOI: 10. 3760/cma. j. cn101785-202009028-017.